



基于AT-TPC的 $^{12}\text{Be}(p,p)^{12}\text{Be}$ 实验数据分析

报告人：卢奋华

指导老师：陈洁、柳卫平

2024.11

活性靶时间投影室



目录

CATALOGUE



南方科技大学
SOUTHERN UNIVERSITY OF SCIENCE AND TECHNOLOGY

1

研究背景

2

^{12}Be 数据分析

3

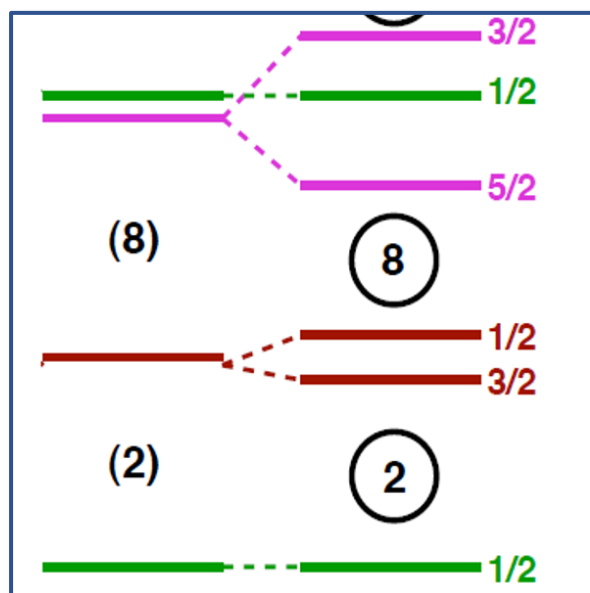
效率模拟

4

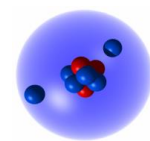
总结

原子核的传统图像为核子在平均场中的独立粒子运动，并按照壳层结构排布。然而在远离稳定线时，一些奇异现象被观测到：中子晕、集团结构、新幻数等。

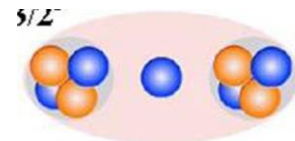
壳模型



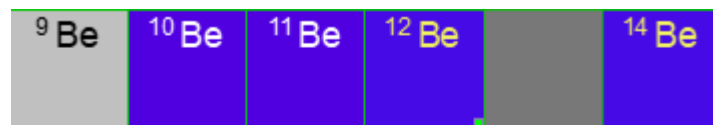
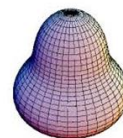
丰中子奇特核：轨道的闯入会破坏传统的幻数！



晕核



集团结构



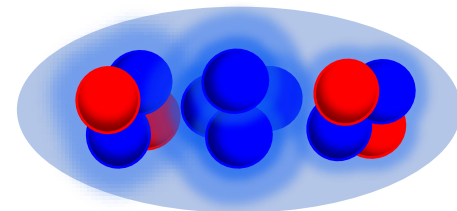
N = 8

传统幻数消失！

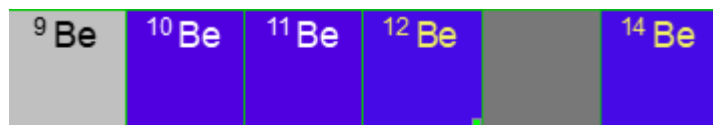
理论： ^{12}Be 的 α 集团化



两个核心的集团结构



集团现象与核力性质紧密联系，现在对集团结构的成因尚缺少确切的解释！



N = 8

传统幻数消失!

$^{12}\text{Be} (^1\text{H}, ^1\text{H}) ^{12}\text{Be}$

直接核反应：逆运动学

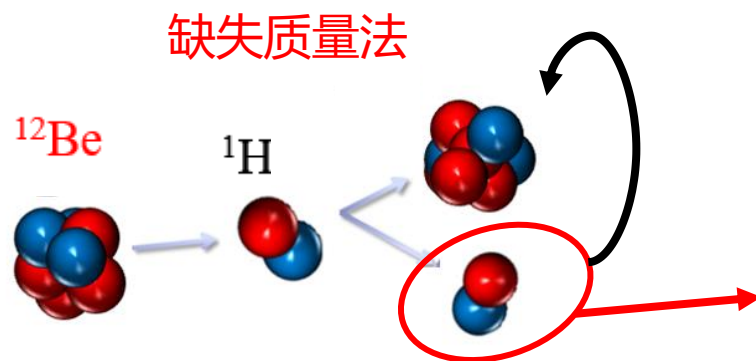
弹性散射: 不稳定的弱束缚核光学势—验证与发展

非弹性散射的激发模式是单粒子激发或集体激发

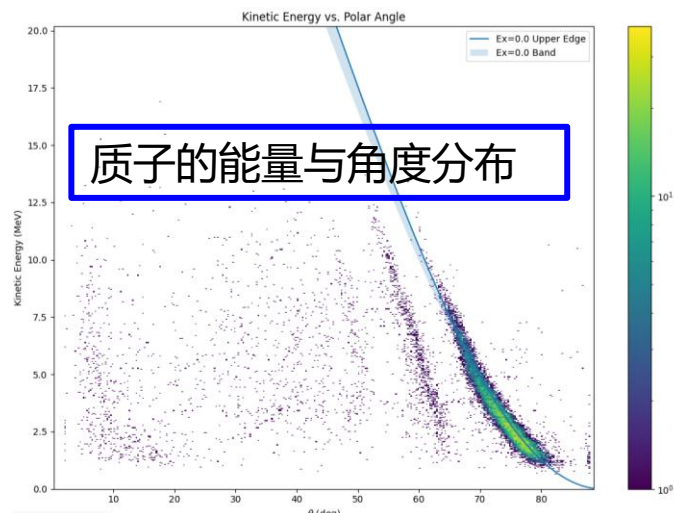
在转动模型中, 利用实验角分布和DWBA计算的对比, 可以提取原子核的形变参量, 研究集团结构。

$$\delta = \beta R = \beta r_0 A^{1/3}$$

对集团结构现象的研究有助于更加系统地认识核力, 特别是弱束缚体系的性质!

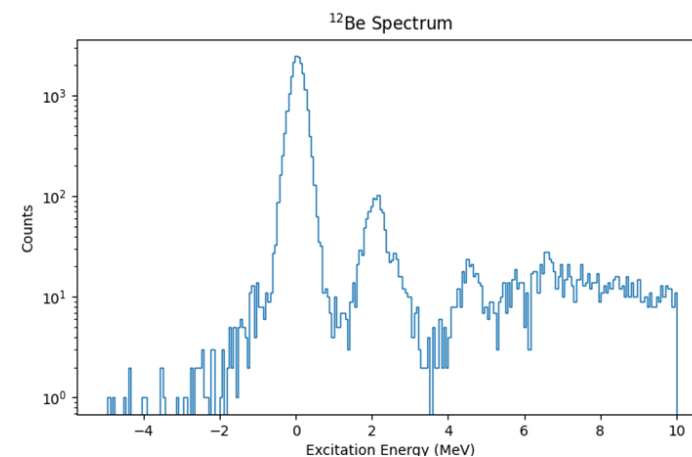


研究反应: $^{12}\text{Be} (^1\text{H}, ^1\text{H}) ^{12}\text{Be}$

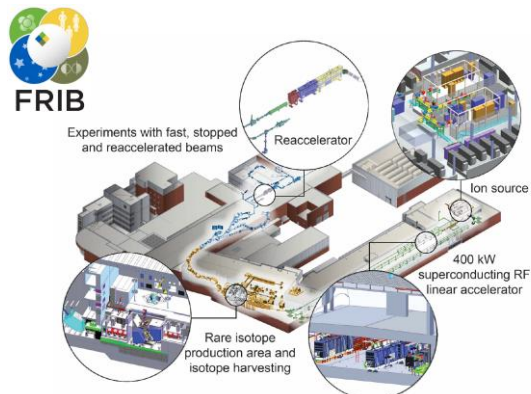


探测出射质子的信息!

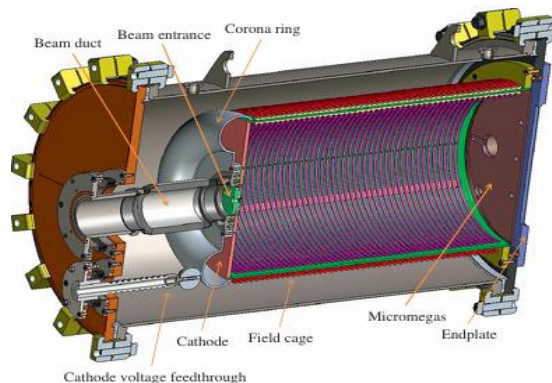
能量守恒
缺失质量



^{12}Be 的能谱信息 (基态、激发态)



FRIB装置示意图



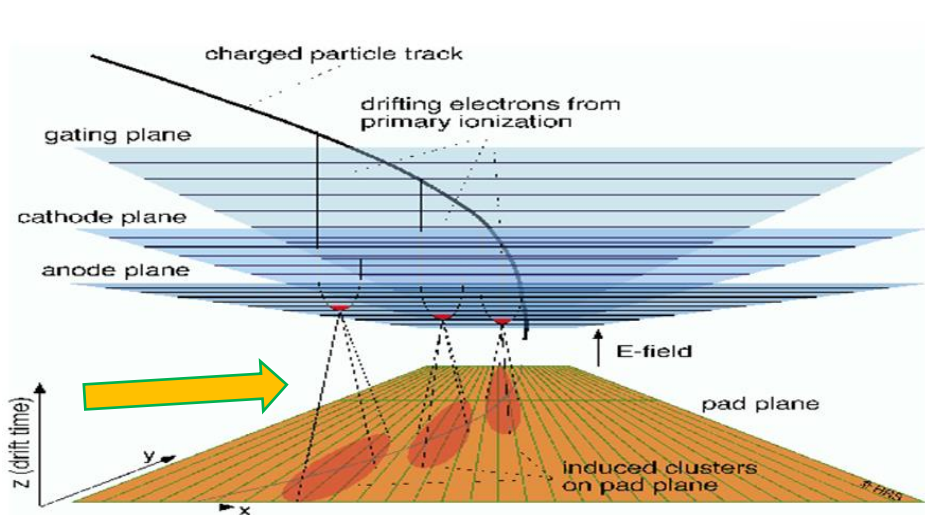
AT-TPC示意图

活性靶时间投影室:
充当反应靶场所, 并可同时进行**三维径迹**
的运动学测量。

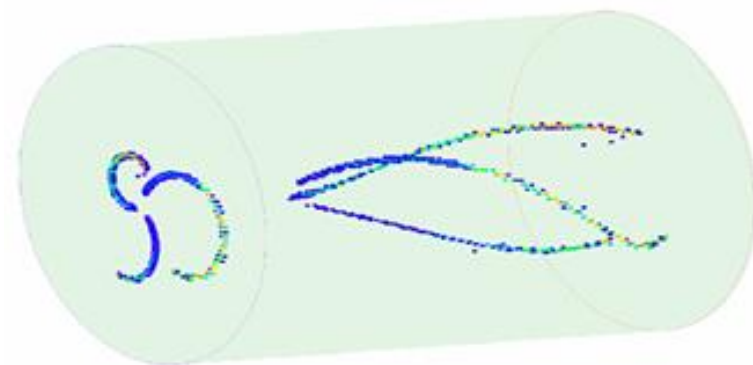
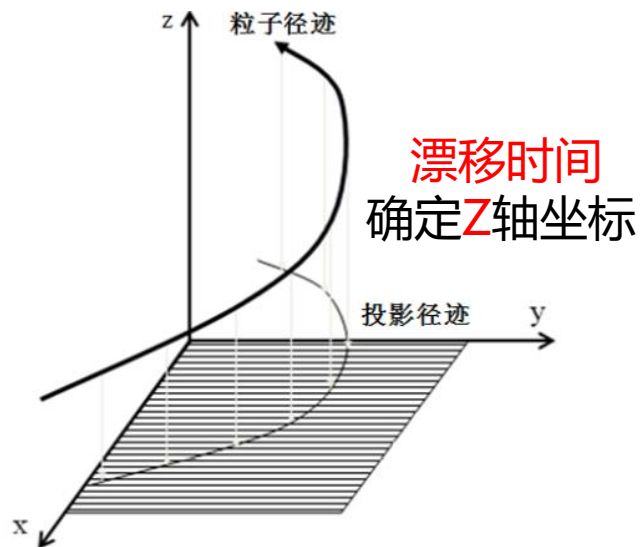
实验设置

- 初级束: ^{14}C
- 初级靶: ^9Be
- 入射粒子: $12.8 \text{ AMeV } ^{12}\text{Be}$
- 工作气体: 600 Torr H_2
- 磁场: 2.85 T

TPC工作原理



读出pad点火位置**确定X、Y坐标**



磁场: 鉴别粒子Bp-dE、 $E \sim p$

目录

CATALOGUE



南方科技大学
SOUTHERN UNIVERSITY OF SCIENCE AND TECHNOLOGY

1

研究背景

2

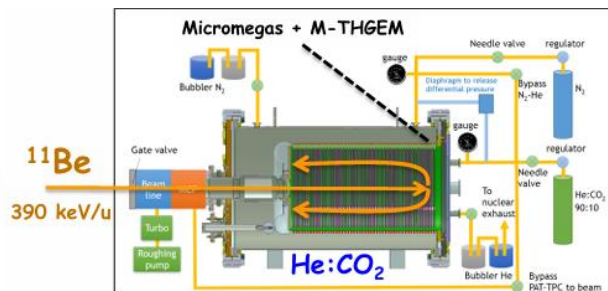
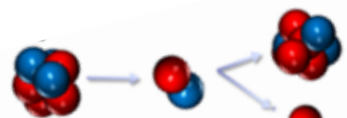
^{12}Be 数据分析

3

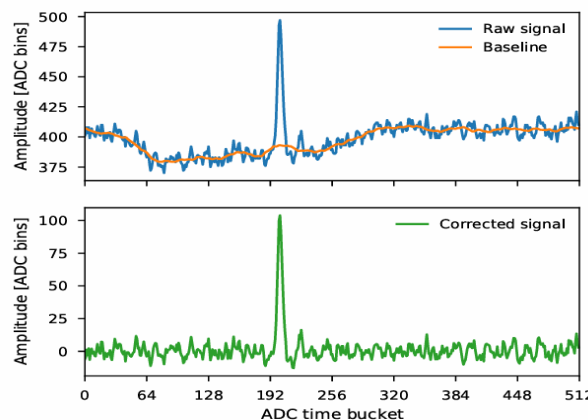
效率模拟

4

总结



电信号—重建物理信息：能量、位置、时间、电荷



有效解决了基线震荡问题!

```
# Remove peaks from baselines and replace with average
bases: np.ndarray = traces.copy()
for row in bases:
    mean = np.mean(row)
    sigma = np.std(row)
    mask = row - mean > sigma * 1.5
    row[mask] = np.mean(row[~mask])

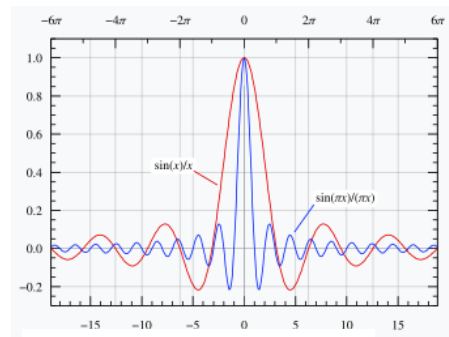
# Create the filter
window = np.arange(-256.0, 256.0, 1.0)
fil = np.fft.ifftshift(np.sinc(window / baseline_window_scale))
transformed = np.fft.fft2(bases, axes=(1,))
result = np.real(
    np.fft.ifft2(transformed * fil, axes=(1,))
) # Apply the filter -> multiply in Fourier = convolve in normal

return traces - result
```

确定低通滤波函数频带

计算基线先扣除信号的影响
大于 $1.5 \times \text{sigma}$ 的值设为均值

当信号幅度较大时，均值会
偏高（信号基线会被高估）



$$\text{sinc}(x) = \frac{\sin(\pi x)}{\pi x}$$

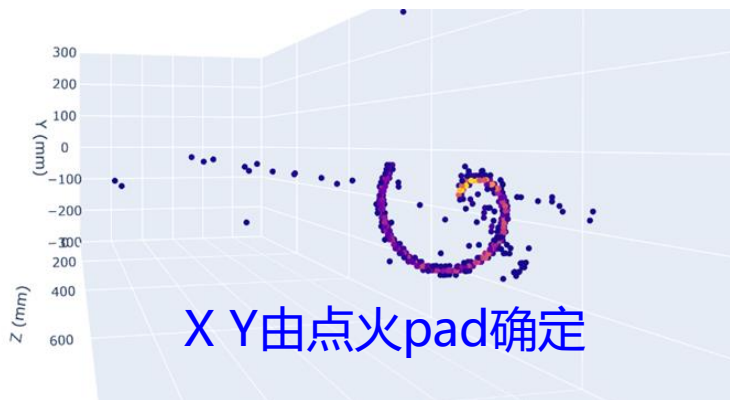
采样窗口512个点，由
Nyquist采样定理，可将信
号频域范围设为了 $\text{window} = 256$ ，然后设置 **信号带宽**
 $\text{baseline_window_scale}$

最后将原始基线数据与Sinc函数使用**快速傅里叶变换**至频域进行卷积。最后反卷积回时域得到基线。由于信号基线容易高估，因此应该减少信号带宽，使低频通带更窄： $\text{baseline_window_scale}$

参数优化



径迹重建



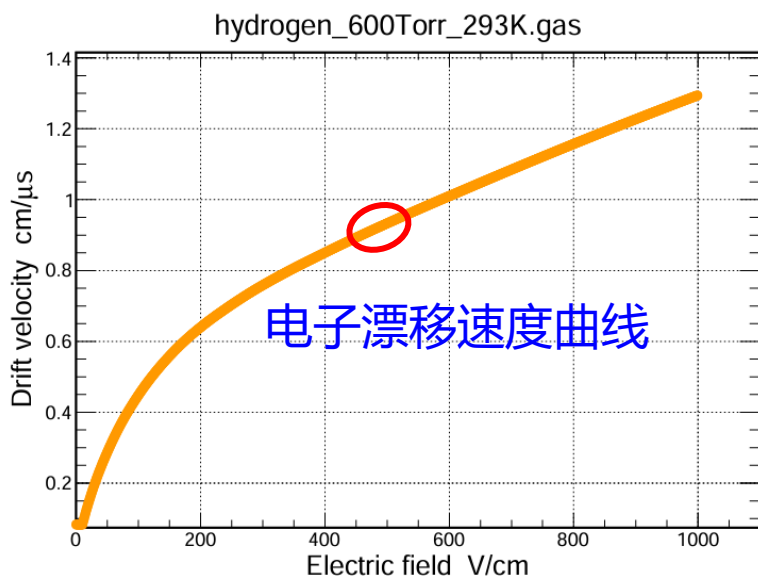
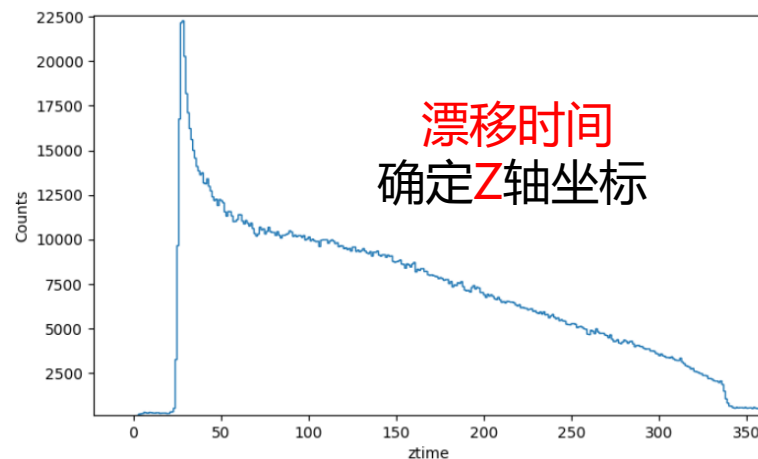
工作电场与漂移速度:

$$z_{signal} = \frac{t_{window} - t_{signal}}{t_{window} - t_{micromegas}} l_{attpc}$$

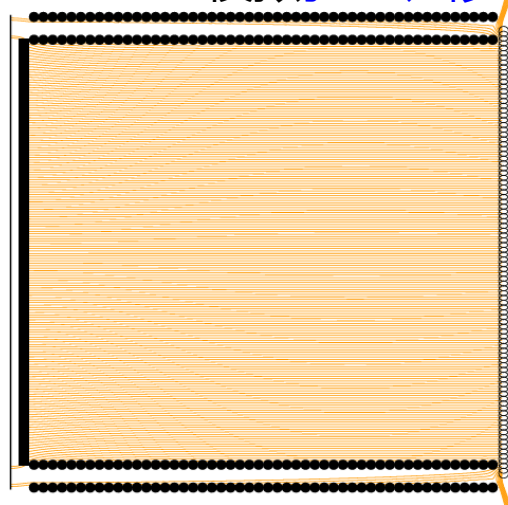
Z坐标重建参数:

```
micromegas_time_bucket=26.0,  
window_time_bucket=336.0,  
get_frequency=3.125, #160ns 320ns
```

根据实验数据刻度漂移时间

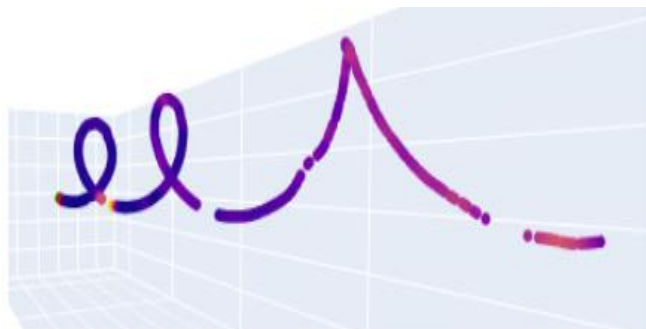


Garfield++模拟验证、修正

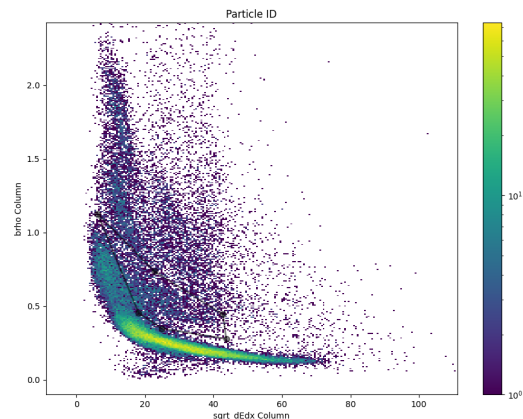


模拟的电子漂移速度与3.125 MHz的采样频率对应的320 ns采样间隔算出的电子漂移时间可相互印证。

径迹重建



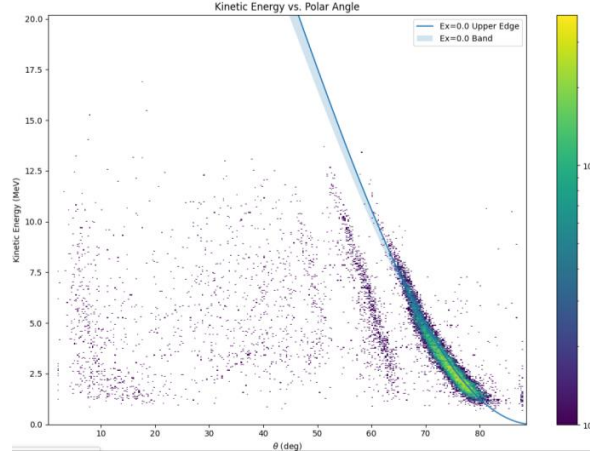
粒子鉴别图Bp-dE/dx



Bp → Ek



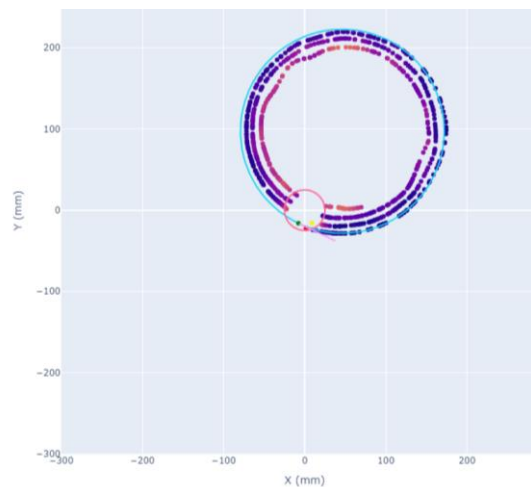
运动学曲线



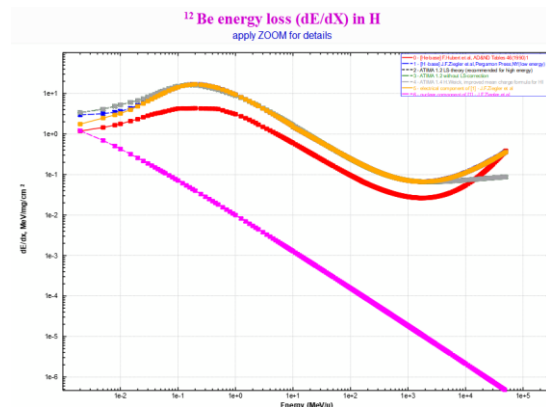
质心系转换
微分截面



拟合得到Bp、反应顶点



计算能量损失信息 —— 激发函数

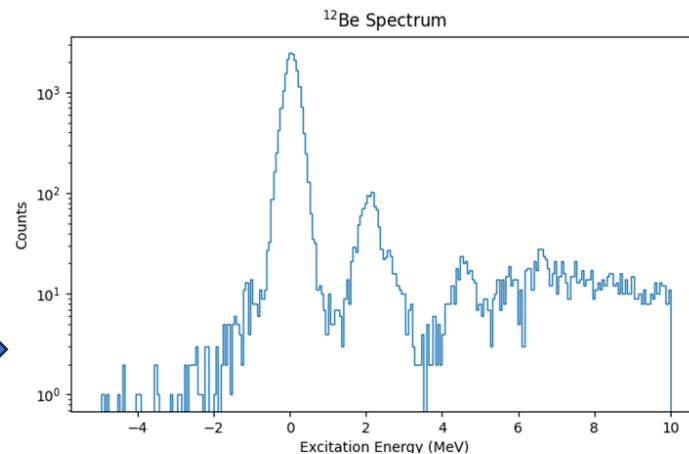


ATIMA

ATIMA is a program developed at [GSI](#) which

- stopping power
- energy loss
- energy-loss straggling
- angular straggling
- range
- range straggling
- mean projectile charge

能量守恒
缺失质量

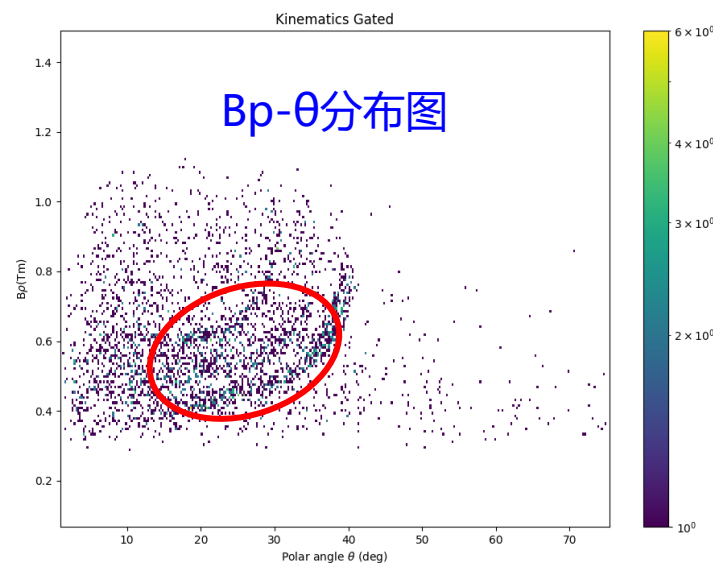
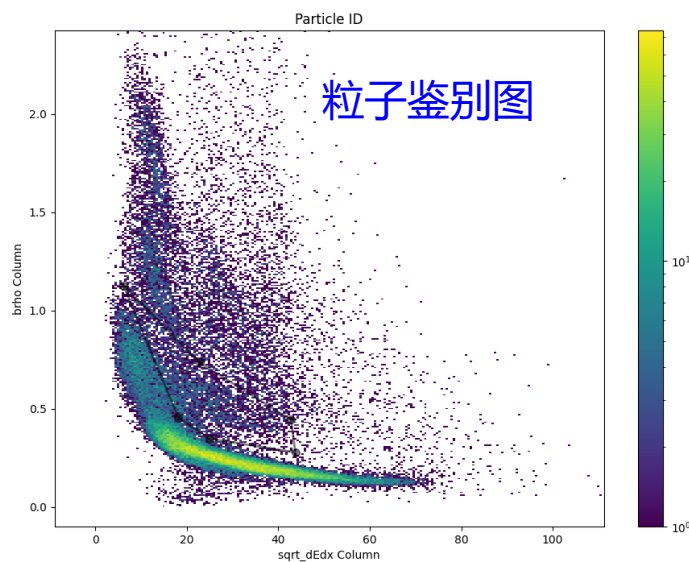
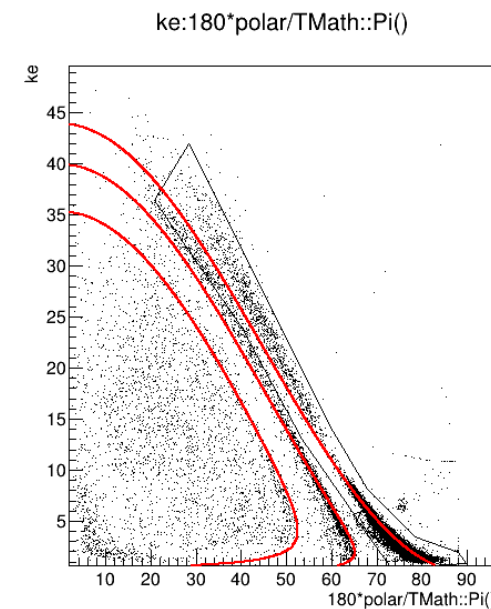
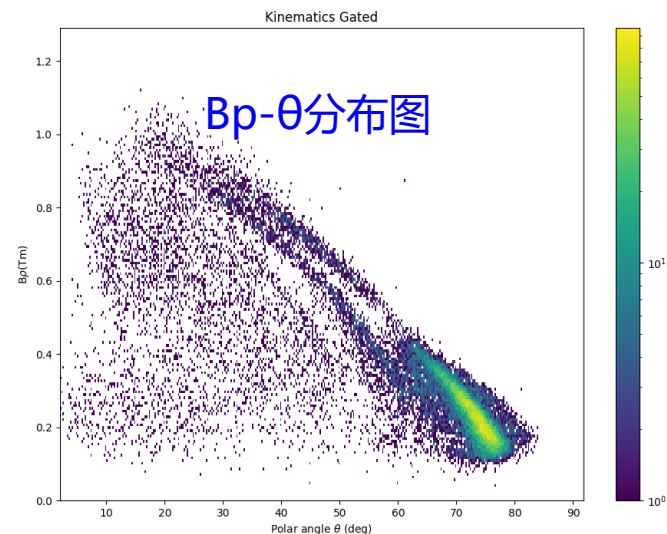
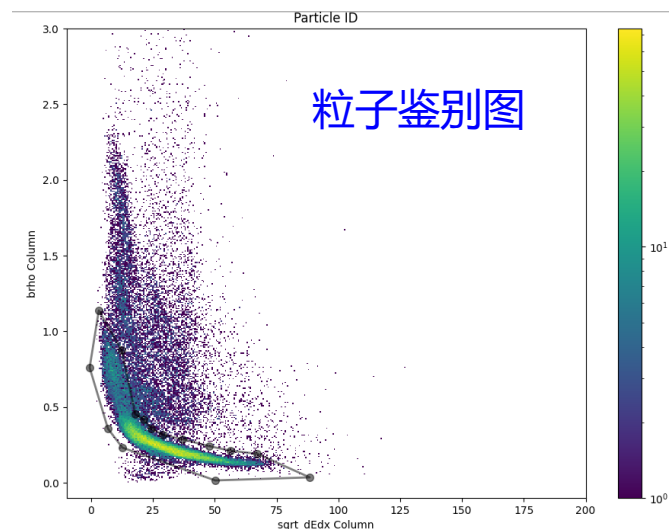


重构或移植ATIMA软件到至数据分析代码

¹²Be的能谱信息（基态、激发态）

次级粒子鉴别

$$\frac{dE}{dx} \propto Az^2 \frac{1}{E} \longleftrightarrow B\rho = \frac{P}{Q}$$



在100 pps的 ^{12}Be 束流强度下，3天时间同时完成了 ^{12}Be (p,p)、 ^{12}Be (p,d)、 ^{12}Be (p,t) 3个反应道的数据测量。

目录

CATALOGUE



南方科技大学
SOUTHERN UNIVERSITY OF SCIENCE AND TECHNOLOGY

1

研究背景

2

^{12}Be 数据分析

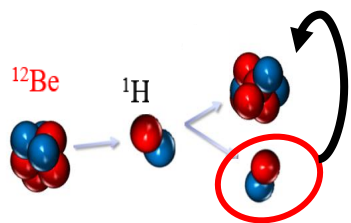
3

效率模拟

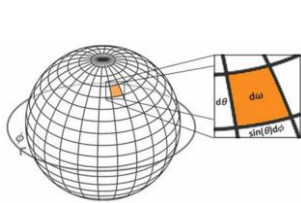
4

总结

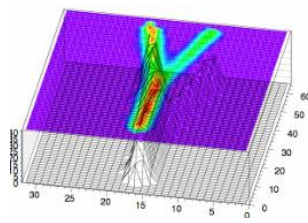
attpc_engine蒙卡模拟过程



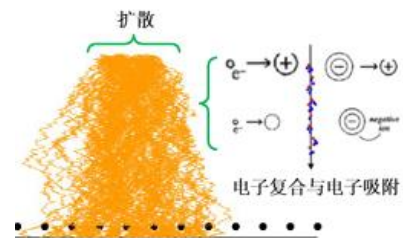
核反应类型



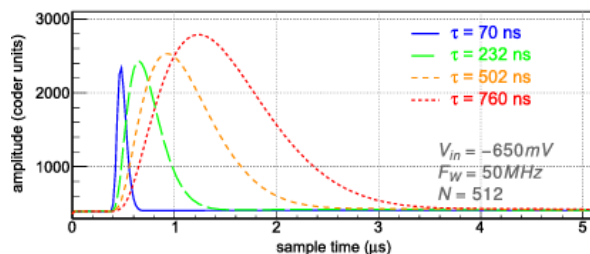
相空间抽样



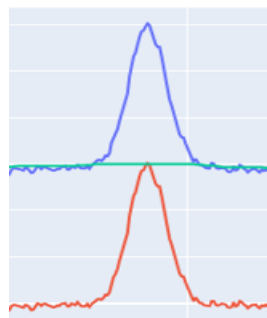
能损模型



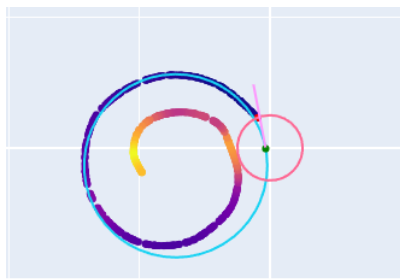
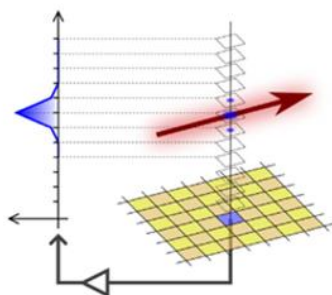
电子扩散漂移



卷积电子学响应

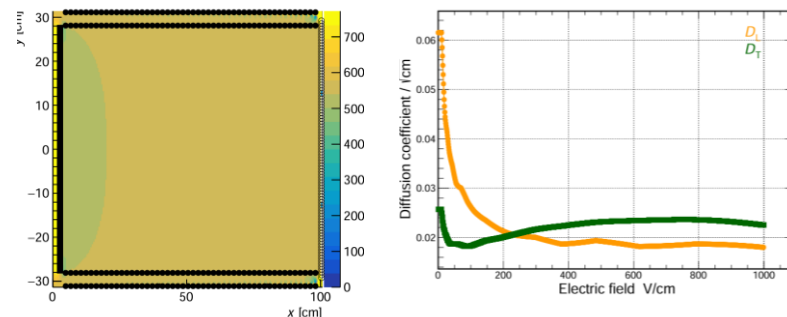


电子学响应—TPC-pad映射

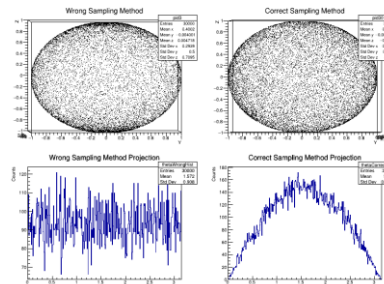


物理信息重建

参数需要通过Garfield软件模拟获取！



工作气体属性（扩散、平均电离能、法诺因子）



```
[ExcitationGaussian(0.0, 0.001)], # No width to ground state
[PolarUniform(0.0, np.pi)], # Full angular range 0 deg to 180 deg
beam_energy=184.131, # MeV
target_material=KinematicsTargetMaterial(
    material=target, z_range=(0.0, 1.0), rho_sigma=0.007
```

```
detector = DetectorParams(
    length=1.0,
    efield=45000.0,
    bfield=2.85,
    mpgd_gain=175000,
    gas_target=gas,
    diffusion=0.277,
    fano_factor=0.2,
    w_value=34.0,
)

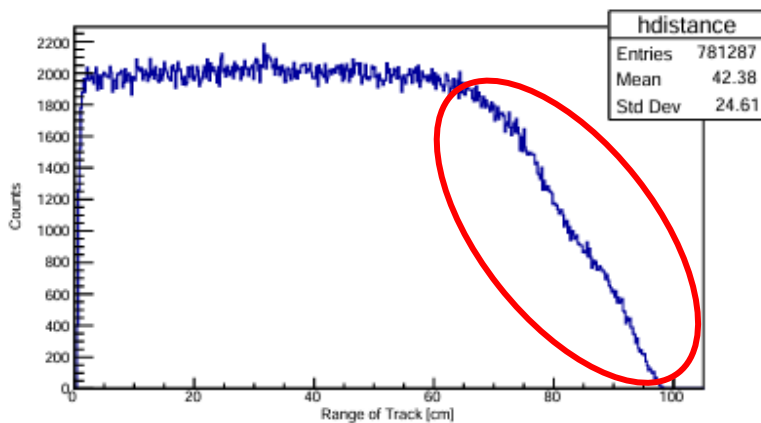
electronics = ElectronicsParams(
    clock_freq=6.25,
    amp_gain=900,
    shaping_time=1000,
    micromegas_edge=10,
    windows_edge=560,
    adc_threshold=40,
)
```

```
detector = DetectorParams(
    length=1.0,
    efield=55000.0,
    bfield=2.85,
    mpgd_gain=175000,
    gas_target=gas,
    diffusion=0.0277,
    fano_factor=0.34,
    w_value=36.5, # eV
)

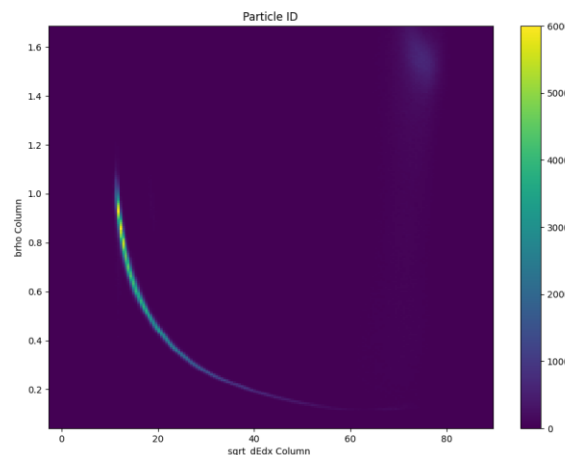
electronics = ElectronicsParams(
    clock_freq=3.125,
    amp_gain=900,
    shaping_time=1000,
    micromegas_edge=26,
    windows_edge=336,
    adc_threshold=40,
)
```

电子漂移速度由实际实验的time bucket决定，并设置ADC 3.125 Mhz的采样频率。

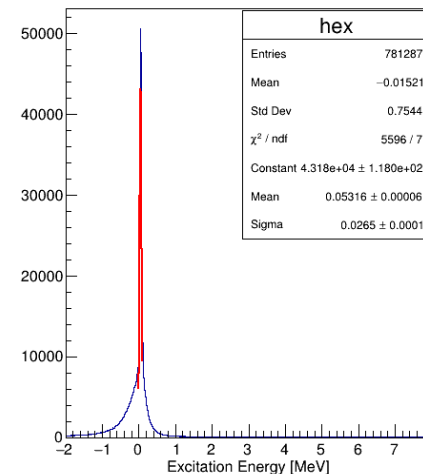
模拟结果



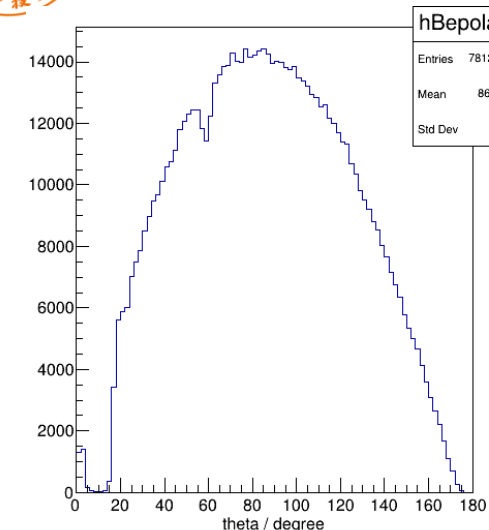
不同反应顶点的重建事件数



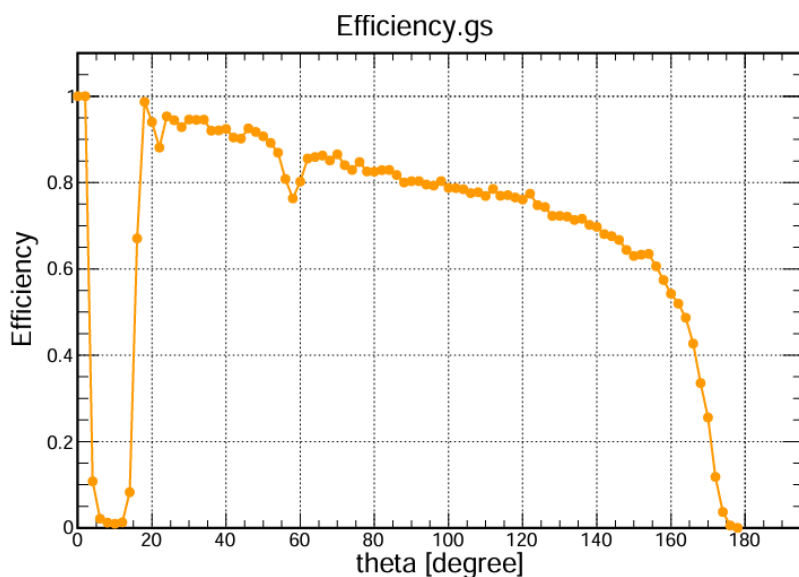
粒子鉴别图



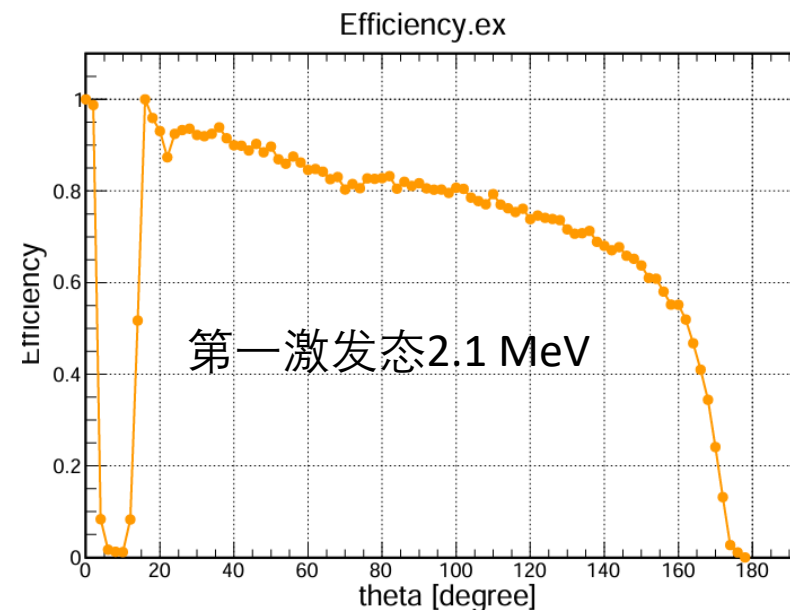
Be-12 激发能谱



Be-12 角度—反应粒子数



基态 质心系下不同极角的重建效率!



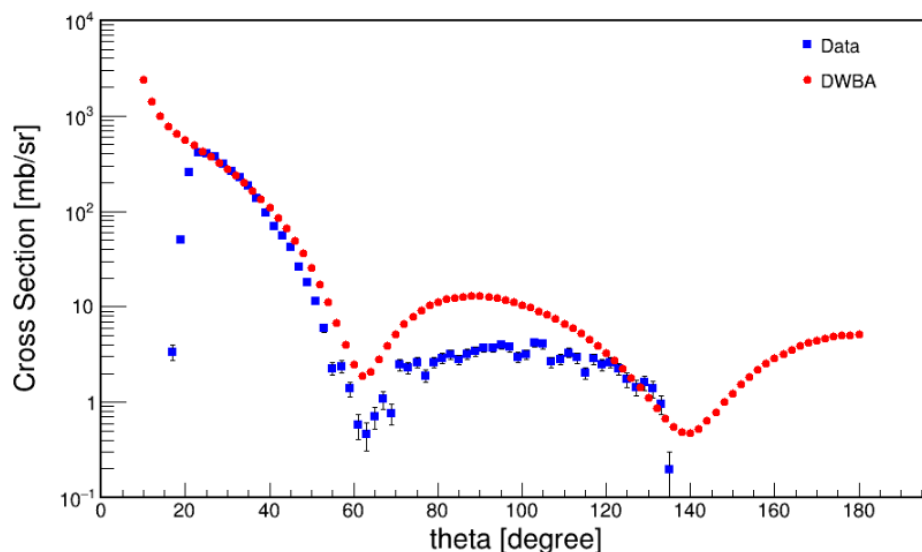
第一激发态2.1 MeV

激发态 质心系下不同极角的重建效率!

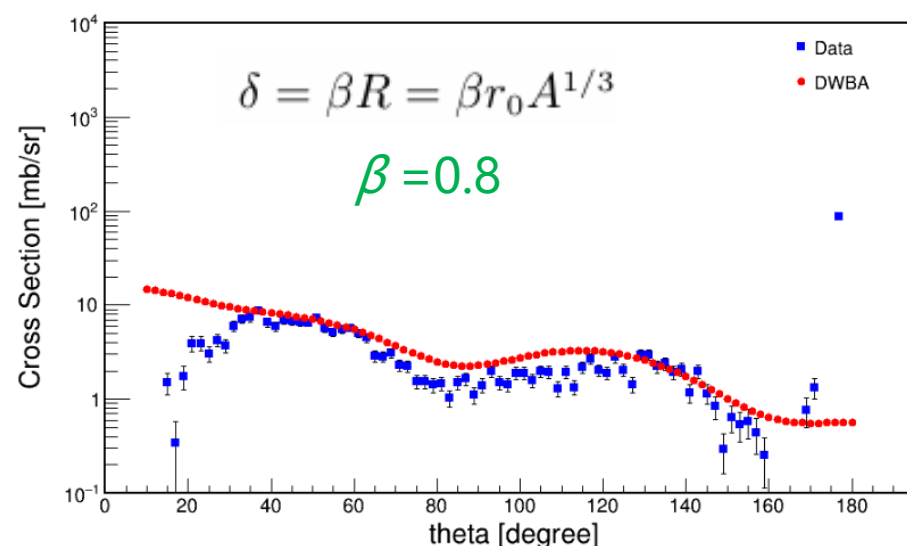
实验结果 (初步)



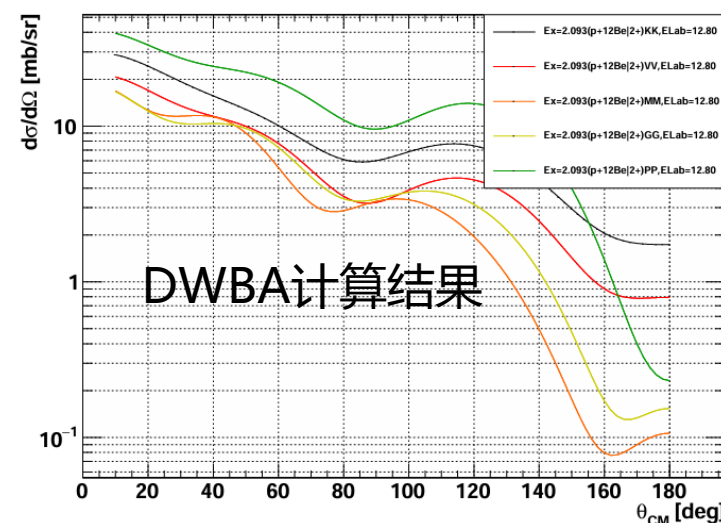
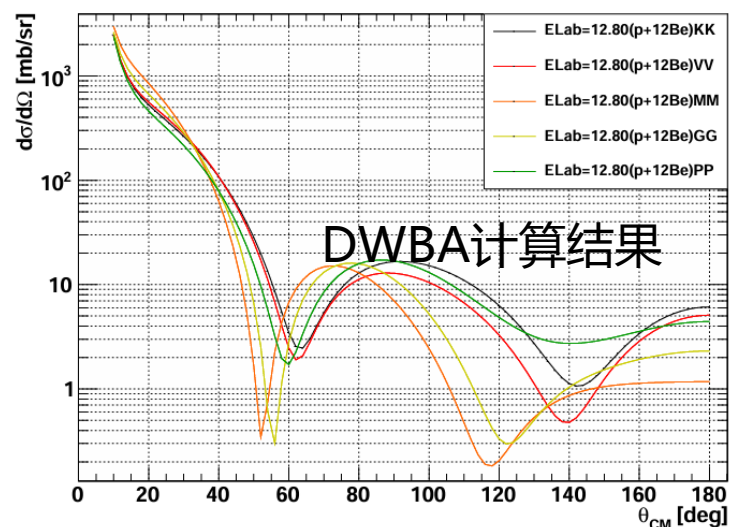
微分截面：基态

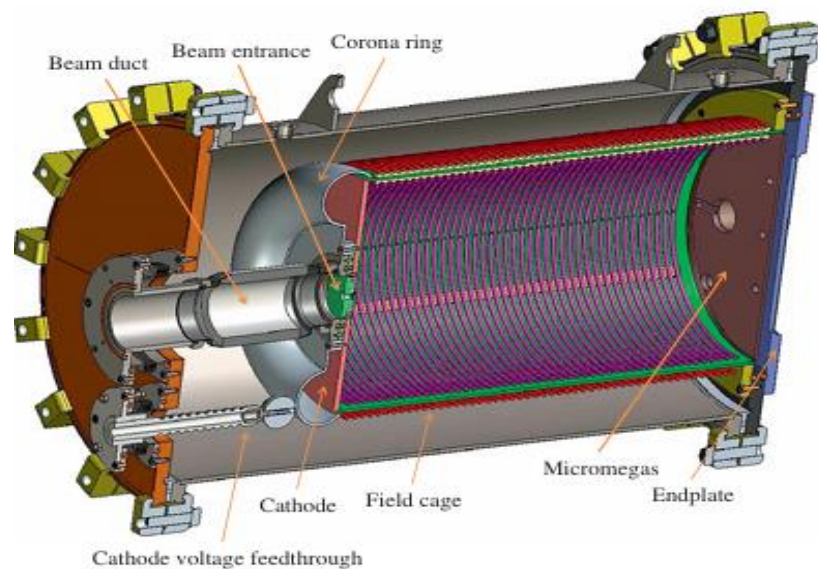


微分截面：第一激发态2.1 MeV

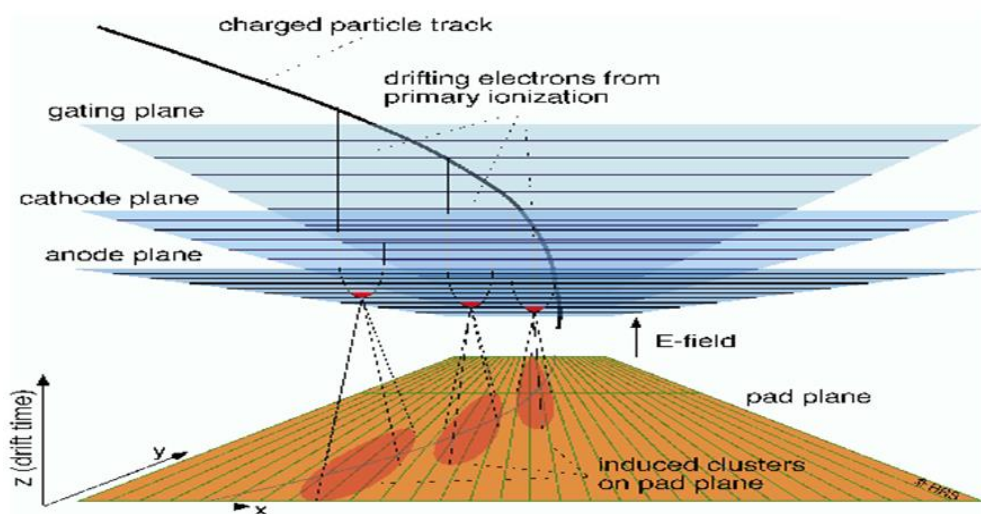


结论：原子核 ^{12}Be 存在较大的形变，可进一步与理论计算结果对比，验证讨论 ^{12}Be 的集团结构！





- ^{12}Be 传统幻数的消失、集团结构
- 实验装置—ATTPC的工作原理
- 信息重建—信号处理、径迹
- 重建效率—蒙卡模拟
- 微分截面—原子核存在较大形变





THANKS



南方科技大学
SOUTHERN UNIVERSITY OF SCIENCE AND TECHNOLOGY



南方科技大学
物理系 Department of Physics
SUSTech



XREFs ✓	J ^π ✓	T _{1/2} /Decay ✓	E(γ) ✓	I(γ) ✓	M(γ) ✓	Final Levels ✓	
E(level) (keV)	XREF	J ^π (level)	T _{1/2} (level)	E(γ) (keV)	I(γ)	M(γ)	Final Levels
0	AB DEF IJKLM OPQRSTU	0+	21.46 ms 5 % β ⁻ = 100 % β ⁻ n = 0.50 3				
2109 1	AB D F IJKL OP RST	2+	0.957 ps 19 % IT = 100	2109 1	100	E2	0 0+
2251 1	B E IJ O	0+	230 ns 8 % IT = 100	142 2 2251	17.7	E2 E0	2109 2+ 0 0+
2715 15	AB D J L OP RST	1-	1.3 fs 4 % IT = 100	2715 2	100	E1	0 0+
4412 16 ?	G	(2-)	634 keV 60 % n > 0				
4580 5	A F JK OP	(2+,3-)	101 keV 17				
5724 6	A F H JK OP	(4+,2+,3-)	85 keV 15				